

## АДСОРБЦИЯ ПЕРОКСИДА ВОДОРОДА НА ДВУМЕРНЫХ ХАЛЬКОГЕНИДАХ ПЕРЕХОДНЫХ МЕТАЛЛОВ

М.А. АГАМАЛЯН<sup>1</sup>, В.М. АРУТЮНЯН<sup>1</sup>, Е.Ш. МАМАСАХЛИСОВ<sup>1,2</sup>,  
Е.В. СУХАНОВА<sup>3</sup>, А.Г. КВАШНИН<sup>4</sup>, З.И. ПОПОВ<sup>3</sup>, А.А. ЗАХАРЯН<sup>1\*</sup>

<sup>1</sup>Ереванский государственный университет, Ереван, Армения

<sup>2</sup>Российско–Армянский университет, Ереван, Армения

<sup>3</sup>Институт биохимической физики им. Н.М. Эмануэля РАН, Москва, Россия

<sup>4</sup>Сколковский институт науки и технологий, Москва, Россия

\*e-mail: hayk.zakaryan@ysu.am

(Поступила в редакцию 10 февраля 2022 г.)

Двумерные халькогениды переходных металлов являются многообещающими материалами для газовых сенсоров. В данной работе мы исследуем и сравниваем активность гексагональных ( $MX_2$ -H), триклинических ( $MX_2$ -T') и нестехиометрических  $M_2X_3$  (где M=Mo, W и X=S, Se) двумерных халькогенидов металлов в присутствии молекулы  $H_2O_2$ , с использованием методов первых принципов. Перенос заряда, энергии адсорбции, и функция локализации электронов были рассчитаны для различных адсорбционных структур. В результате было показано, что при адсорбции  $H_2O_2$  в основном происходит физическая адсорбция. Самые низкие энергии адсорбции наблюдались в материалах  $MoS_2$ -T',  $WSe_2$ -T' и  $W_2Se_3$ , что свидетельствует о том, что они могут быть более эффективными в газочувствительных приложениях.

### 1. Введение

Пероксид водорода ( $H_2O_2$ ) широко применяется в индустрии как окислитель, так как единственным продуктом ее восстановления является вода [1]. Потребность в  $H_2O_2$  особенно проявляется в бумажной промышленности и текстильном производстве [2]. Пероксид водорода является также биопродуктом в метаболизме и в ферментативных реакциях и, кроме того служит индикатором заболевания органов дыхания, поэтому его детектирование в выдохе человека при малых концентрациях является важнейшим применением [3].

Детектирование пероксида водорода в основном производится с помощью полупроводниковых газовых сенсоров, таких как  $SnO_2$ ,  $CuO$ ,  $TiO_2$  и т.д. [4–8]. Чувствительность таких сенсоров намного повышается, если легировать поверхность материалов разными металлами, например, кобальтом (Co), платиной (Pt), серебром (Ag) или воздействовать ультрафиолетовым излучением [9–11]. Кроме легированных полупроводников, большой чувствительностью обладают двумерные материалы [12]. Исследователи показали что первый экспериментально

полученный двумерный материал графен может иметь чувствительность даже для детектирования одной молекулы газа [13]. В научной литературе уже известны и другие двумерные материалы, например нитрид бора, металлоксиды, дихалькогениды переходных металлов, которые используются в качестве чувствительного слоя [12,14,15]. Основными причинами широкого использования двумерных материалов в газовых сенсорах являются высокая подвижность зарядов, большое соотношение поверхности и объема, которое приводит к повышению количества адсорбционных центров, и механическая устойчивость [16].

Двумерные халькогениды переходных металлов ( $M-X$ , где  $M=W, Mo$ , а  $X=Se, S$ ) имеют разные композиции и кристаллические структуры [17,18]. Экспериментально получены несколько структур дихалькогенидов переходных металлов. Одна из них имеет гексагональную кристаллическую систему ( $MX_2-H$ ), другая триклиническую структуру ( $MX_2-T'$ ), однако среди них гексагональная считается самой стабильной (Рис.1) [19,20]. Известна еще одна стабильная, экспериментально полученная композиция,  $M_2X_3$  [21]. Композиции  $MX_2-T'$  и  $M_2X_3$  имеют узкую запрещенную зону, примерно 0.6 eV и 0.8 eV соответственно [17,21], а  $MX_2-H$  примерно 1.5 eV [19]. В литературе также упоминаются структуры  $MX_2-T$  [20,22], которые очень похожи на  $MX_2-T'$ , однако они не стабильны и обладают металлическими характеристиками.

Хорошую чувствительность по отношению к  $H_2O_2$  имеют  $MX_2-H$ , нанотрубка из нитрида бора и карбид кремния [23]. Однако, для увеличения числа адсорбционных центров эти низкоразмерные материалы легируют разными металлами Co, Ru, Pt и т.д. [24]. Композиции  $MX_2-T'$  и  $M_2X_3$  имеют другие структуры, что может привести к изменению адсорбционных точек. Насколько нам известно, до сих пор не было исследовано взаимодействие пероксида водорода с

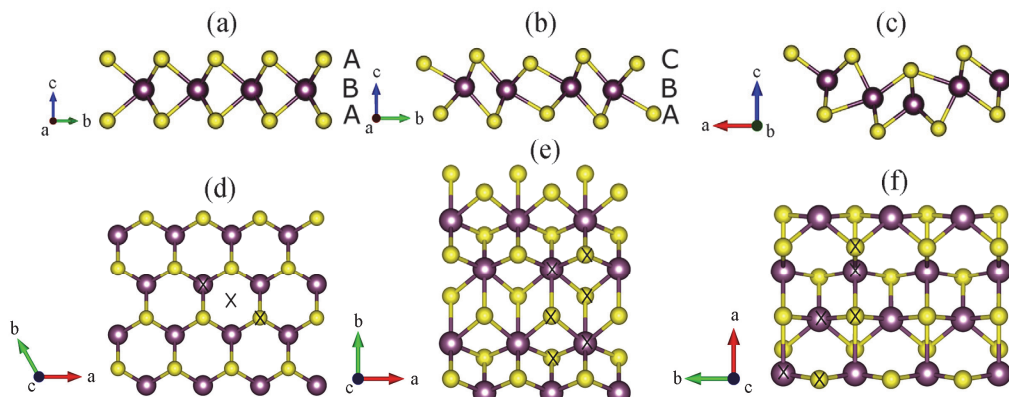


Рис.1. Структуры  $MX_2-H$ ,  $MX_2-T'$ ,  $M_2X_3$  и адсорбционные точки (где  $M=W, Mo$ , а  $X=Se, S$ ). Крестом отмечены точки адсорбции, маленькими кружками атомы халькогенидов, а большими атомы металлов. (а) Вид сбоку и укладка АВА  $MX_2-H$  структуры, (б) Вид сбоку и укладка АВС  $MX_2-T'$  структуры, (с) Вид сбоку  $M_2X_3$  структуры, (д) вид сверху  $MX_2-H$  и точки адсорбции, (е) вид сверху  $MX_2-T'$  и точки адсорбции, (ф) вид сверху  $M_2X_3$  и точки адсорбции.

такими структурами. В данной работе теоретически исследованы адсорбционные свойства двумерных  $\text{MX}_2\text{-H}$ ,  $\text{MX}_2\text{-T}'$  и  $\text{M}_2\text{X}_3$  по отношению  $\text{H}_2\text{O}_2$ .

## 2. Теория и методы расчета

Для исследования адсорбционных свойств двумерного материала были теоретически рассчитаны энергия адсорбции, перенос заряда и вид связей молекулы с двумерным материалом. Энергия адсорбции  $E_{\text{ads}}$  рассчитывается по следующей формуле:

$$E_{\text{ads}} = E_{\text{system}} - E_{2D} - E_{\text{molecule}}.$$

Здесь  $E_{\text{system}}$  – полная энергия системы с молекулой  $\text{H}_2\text{O}_2$  и с двумерным материалом,  $E_{2D}$  – полная энергия 2D материала, а  $E_{\text{molecule}}$  – полная энергия молекулы, которые были рассчитаны с использованием первых принципов на основе теории функционала плотности [25,26]. Вычисления проводились с помощью программного пакета Vienna ab initio simulation package (VASP) [27,28]. Структурная оптимизация проводилась с функционалом обменно-корреляционного обобщенного градиентного приближения (GGA) [29], предложенного Perdew-Burke-Ernzerhof (PBE) [29]. Суперячейки были сконструированы таким образом, что периодические изображения адсорбированной молекулы были отделены друг от друга не менее чем 9 Å в каждом измерении, а периодические изображения пластин были разделены вакуумом в 15 Å. В результате, элементарная ячейка  $\text{MX}_2\text{-H}$  была увеличена в 3×3 раза,  $\text{MX}_2\text{-T}'$  3×2 раза, а  $\text{M}_2\text{X}_3$  3×3 раза. Интегрирование в обратном пространстве было реализовано по схеме Г-центрированного Monkhorst-Pack [30] с сеткой 3×3×1  $k$ -точек зоны Бриллюэна, а граничная энергия была выбрана равной 600 eV. Для изучения связей и вида адсорбции были рассчитаны функции локализации электронов, плотность состояний и был сделан Bader – анализ носителей заряда [31]. Кристаллические структуры были визуализированы с помощью программы VESTA [32].

## 3. Обсуждение результатов

Адсорбционные центры для каждого материала были выбраны соответственно его структуре. Двумерный  $\text{MX}_2\text{-H}$  можно представить как трехслойную структуру с АВА укладкой, а двумерный  $\text{MX}_2\text{-T}'$  с АВС укладкой, где первый слой состоит из атомов халькогенов, второй слой из металлов, а третий из халькогенов [17].  $\text{M}_2\text{X}_3$  имеет орторомбическую кристаллическую систему с Pmc21 симметрией [21]. В случае  $\text{MX}_2\text{-H}$  адсорбционные точки выбраны на атомах халькогенида, металла и в центре гексагональной структуры (крестом отмечены на Рис.1c). В отличии от  $\text{MX}_2\text{-H}$ , двумерные  $\text{MX}_2\text{-T}'$  и  $\text{M}_2\text{X}_3$  имеют большую элементарную ячейку, что приводит к увеличению количества разных адсорбционных точек (Рис.1d). Для каждой адсорбционной точки рассчитаны три начальные адсорбционные структуры. В первой  $\text{H}_2\text{O}_2$  параллельна ординате  $x$ , вторая ординате  $y$ , а третья ординате  $z$ .

Энергии адсорбции были рассчитаны после оптимизации адсорбционных структур. Самые низкие энергии адсорбции для каждого материала приведены в Таблице 1. Расчеты показывают, что самую низкую энергию адсорбции ( $-0.28$  eV) имеют материалы  $\text{MoS}_2\text{-T}'$  и  $\text{WSe}_2\text{-T}'$ , на которых  $\text{H}_2\text{O}_2$  адсорбируется на атом халькогенида (Рис.2).

Табл.1. Энергии адсорбции, расстояние  $\text{H}_2\text{O}_2$  от двумерного материала, перенос заряда, рассчитанный с помощью Bader анализа

Двумерный материал	Энергия адсорбции, eV	Расстояние между молекулой и двумерным материалом, Å	Перенос заряда (e), рассчитанный с помощью Bader анализа
$\text{MoS}_2\text{-T}'$	$-0.28$	2.5	-0.03
$\text{WSe}_2\text{-T}'$	$-0.28$	2.6	-0.04
$\text{MoSe}_2\text{-T}'$	$-0.25$	2.6	-0.04
$\text{W}_2\text{Se}_3$	$-0.25$	3.2	-0.01
$\text{WSe}_2\text{-H}$	$-0.25$	2.4	-0.04
$\text{WS}_2\text{-T}'$	$-0.23$	2.4	-0.02
$\text{W}_2\text{S}_3$	$-0.22$	3.2	-0.007
$\text{WS}_2\text{-H}$	$-0.22$	2.2	-0.03
$\text{MoS}_2\text{-H}$	$-0.22$	2.3	-0.03
$\text{MoSe}_2\text{-H}$	$-0.21$	2.3	-0.04
$\text{Mo}_2\text{Se}_3$	$-0.21$	2.9	-0.02
$\text{Mo}_2\text{S}_3$	$-0.20$	2.9	-0.01

Несмотря на то, что энергия адсорбции на других материалах выше, все значения отрицательные и ниже  $-0.2$  eV, что означает, что адсорбция молекулы энергетически выгодна для всех структур. Чтобы понять вид адсорбции, перенос заряда из молекулы к двумерному материалу был рассчитан с помощью Bader анализа (Таблица 1). Из результатов видно, что переноса заряда не происходит, то есть адсорбция физическая. Известно, что при физической адсорбции расстояние между молекулой и материалом составляет в среднем  $2.7$  Å, что совпадает с результатами нашего исследования. Вид адсорбции подтверждает также функция локализации электронов, приведенная на Рис. 3. Нужно отметить, что адсорбция на структурах с не широкой запрещённой зонной ( $0.6$ – $0.8$  eV)  $\text{MoS}_2\text{-T}'$ ,

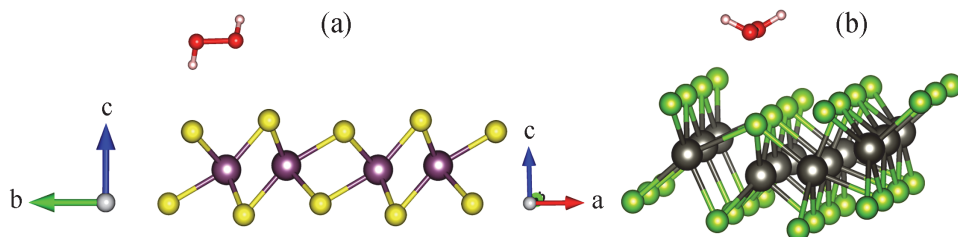


Рис.2. Физсорбированная молекула  $\text{H}_2\text{O}_2$  на двумерные материалы (a)  $\text{MoS}_2\text{-T}'$  (b)  $\text{W}_2\text{Se}_3$ .

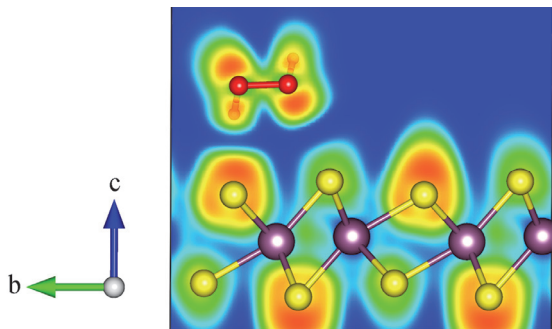


Рис.3. Функция локализации электронов в случае адсорбции  $\text{H}_2\text{O}_2$  на  $\text{MoS}_2\text{-T}'$ .

$\text{WSe}_2\text{-T}'$  и  $\text{W}_2\text{Se}_3$ , более выгодна чем на  $\text{MX}_2\text{-H}$  структурах, поэтому двумерные  $\text{M}_2\text{X}_3$  и  $\text{MX}_2\text{-T}'$  материалы не будут уступать известным 2D  $\text{MX}_2\text{-H}$  материалам при детектировании  $\text{H}_2\text{O}_2$ .

#### 4. Заключение

В данной работе с помощью теории функционала плотности исследовано взаимодействие молекул пероксида водорода с двумерными халькогенидами переходных металлов  $\text{MX}_2\text{-H}$ ,  $\text{MX}_2\text{-T}'$  и  $\text{M}_2\text{X}_3$ , где  $\text{M}=\text{W}, \text{Mo}$ , а  $\text{X}=\text{Se}, \text{S}$ . Адсорбционные энергии, Bader анализ заряда и функция локализации электронов показали, что для всех структур имеет место физическая адсорбция. Самые низкие энергии адсорбции имеют материалы  $\text{MoS}_2\text{-T}'$ ,  $\text{WSe}_2\text{-T}'$  и  $\text{W}_2\text{Se}_3$ , которые могут применяться в газовых сенсорах.

Исследование выполнено при финансовой поддержке КН РА и РФФИ (РФ) в рамках совместной научной программы 20RF-185 и № 20-53-05009, соответственно.

#### ЛИТЕРАТУРА

1. A. Plauck, E.E. Stangland, J.A. Dumesic, M. Mavrikakis. Proc. Natl. Acad. Sci. U. S. A., **113**, E1973 (2016).
2. N. Näther, L.M. Juárez, R. Emmerich, J. Berger, P. Friedrich, M.J. Schöning. Sensors, **6**, 308 (2006).
3. J.S. Lee, D.W. Jeong, Y.T. Byun. Sensors Actuators, B Chem., **306**, 127518 (2020).
4. V.M. Aroutiounian. J. Contemp. Phys., **56**, 332 (2021).
5. C.M. Lousada, A.J. Johansson, T. Brinck, M. Jonsson. J. Phys. Chem. C, **116**, 9533 (2012).
6. G.H. Shahkhatuni, V.M. Aroutiounian, V.M. Arakelyan. Armen. J. Phys., **11**, 153 (2018).
7. H.A. Zakaryan, V.M. Aroutiounian. J. Contemp. Phys., **52**, 227 (2017).
8. V. Aroutiounian, V. Arakelyan, G. Shahnazaryan, P. Kacer, P. Picha. Sensors & Transducers, **213**, 46 (2017).
9. Y. Guo, R. Hu, X. Zhou, J. Yu, L. Wang. Appl. Surf. Sci., **479**, 989 (2019).
10. L. Chen, Z. Xu, C. He, Y. Wang, Z. Liang, Q. Zhao, Q. Lu. Appl. Surf. Sci., **457**, 821 (2018).

11. M.S. Aleksanyan, A.G. Sayunts, A.A. Zakaryan, V.M. Harutyunyan. *J. Contemp. Phys.*, **55**, 205 (2020).
12. S. Yang, C. Jiang, S. Wei, S. Yang, C. Jiang, S. Wei. *Appl. Phys. Rev.*, **4**, 021304 (2017).
13. W. Yuan, G. Shi. *J. Mater. Chem. A*, **1**, 10078 (2013).
14. M. Donarelli, L. Ottaviano. *Sensors*, **18**, 3638 (2018).
15. E. Lee, Y.S. Yoon, D.J. Kim. *ACS Sensors*, **3**, 2045 (2018).
16. Y. Zeng, S. Lin, D. Gu, X. Li. *Nanomaterials*, **8**, 851 (2018).
17. C. Mattevi, M.S. Sokolikova. *Chem. Soc. Rev.*, **49**, 3952 (2020).
18. X. Duan, C. Wang, A. Pan, R. Yu, X. Duan. *Chem. Soc. Rev.*, **44**, 8859 (2015).
19. A. Chaves, J.G. Azadani, H. Alsalman, D.R. da Costa, R. Frisenda, A.J. Chaves, S.H. Song, Y.D. Kim, D. He, J. Zhou, A. Castellanos-Gomez, F.M. Peeters, Z. Liu, C.L. Hinkle, S.H. Oh, P.D. Ye, S.J. Koester, Y.H. Lee, P. Avouris, X. Wang, T. Low. *Npj 2D Mater. Appl.*, **4**, 29 (2020).
20. S. Manzeli, D. Ovchinnikov, D. Pasquier, O.V. Yazyev, A. Kis. *Nat. Rev. Mater.*, **2**, 17033 (2017).
21. X. Wang, X. Guan, X.B. Ren, T. Liu, W. Huang, J. Cao, C. Jin. *Nanoscale*, **12**, 8285 (2020).
22. A. Singh, S.N. Shirodkar, U.V. Waghmare. *2D Mater.*, **2**, 35013 (2015).
23. A. Soltani, A.A. Peyghan, Z. Bagheri. *Phys. E Low-Dimensional Syst. Nanostructures*, **48**, 176 (2013).
24. C. Zhou, B. Wang, Z. Song, et al., *Fuel*, **202**, 318 (2017).
25. P. Hohenberg, W. Kohn. *Phys. Rev.*, **136**, B864 (1964).
26. W. Kohn, L.J. Sham. *Phys. Rev.*, **140**, A1133 (1965).
27. G. Kresse, J. Furthmüller. *Phys. Rev. B*, **54**, 11169 (1996).
28. G. Kresse, D. Joubert. *Phys. Rev. B*, **59**, 1758 (1999).
29. J.P. Perdew, K. Burke, M. Ernzerhof. *Phys. Rev. Lett.*, **77**, 3865 (1996).
30. H.J. Monkhorst, J.D. Pack. *Phys. Rev. B*, **13**, 5188 (1976).
31. W. Tang, E. Sanville, G. Henkelman. *J. Phys. Condens. Matter*, **21**, 084204 (2009).
32. K. Momma, F. Izumi. *J. Appl. Crystallogr.*, **44**, 1272 (2011).

## HYDROGEN PEROXIDE ABSORPTION ON TWO-DIMENSIONAL TRANSITION METAL CHALCOGENIDES

M.A. AGHAMALYAN, V.M. AROUTIOUNIAN, E.Sh. MAMASAKHLISOV,  
E.V. SUKHANOVA, A.G. KVASHNIN, Z.I. POPOV, H.A. ZAKARYAN

Two-dimensional transition metal chalcogenides are promising materials for gas sensors. In this paper, we investigate and compare the activity of hexagonal ( $MX_2$ -H), triclinic ( $MX_2$ -T'), and nonstoichiometric  $M_2X_3$  (where  $M=Mo, W$  and  $X=S, Se$ ) two-dimensional metal chalcogenides in the presence of an  $H_2O_2$  molecule, using first principles methods. Charge transfer, adsorption energy, and electron localization function are calculated for various adsorption structures. As a result, it was shown that during the adsorption of  $H_2O_2$ , physical adsorption mainly occurs. The lowest adsorption energies were observed in  $MoS_2$ -T',  $WSe_2$ -T' and  $W_2Se_3$  materials, indicating that they may be more efficient in gas sensing applications.